

Injection synchrone de précurseurs liquides dans un plasma d'arc pulsé

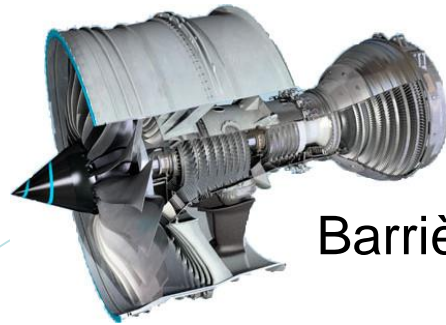
SPCTS (UMR7315)

Science des Procédés Céramiques et Traitements de Surface
Limoges

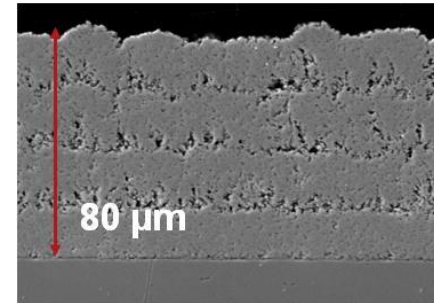
Fabrice Mavier, Jean-François Coudert, V. Rat

Louise Lemesre, Marguertite Bienia, Martine Lejeune

Projection plasma de liquide (suspensions/solutions)



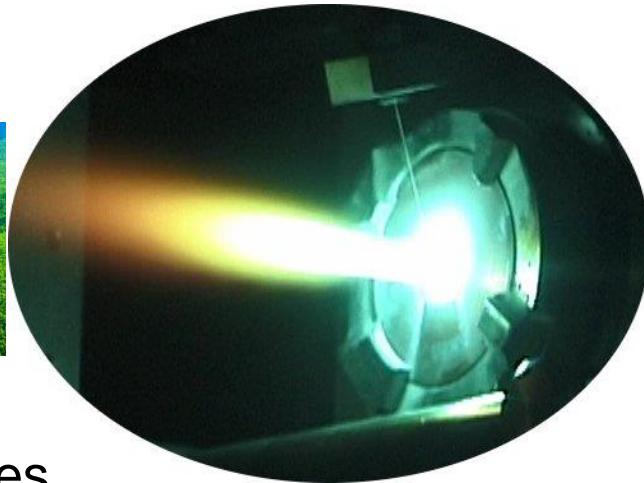
Barrières thermiques



Contrôle des microstructures, des structures et composition chimique



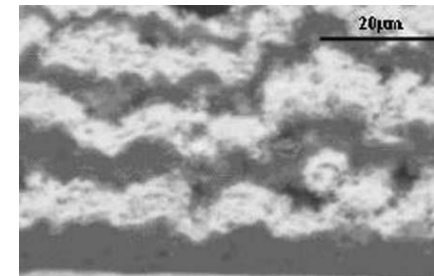
Biomatériaux



Anti-usure

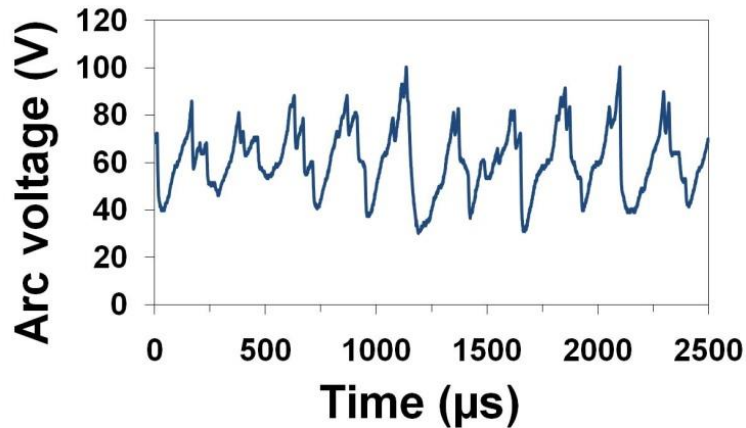


Dépôts photocatalytiques

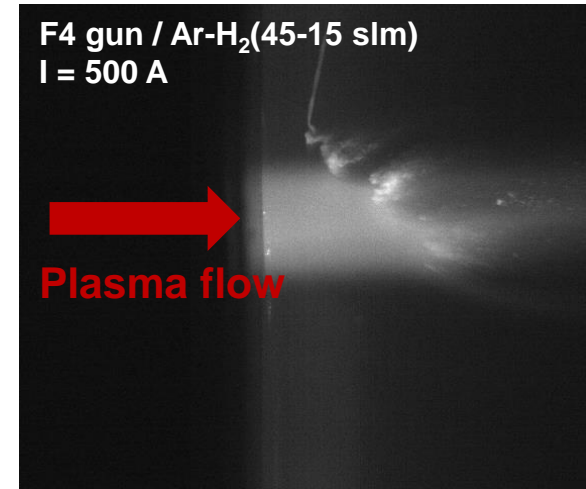


Instabilités de l'arc dans les torches dc

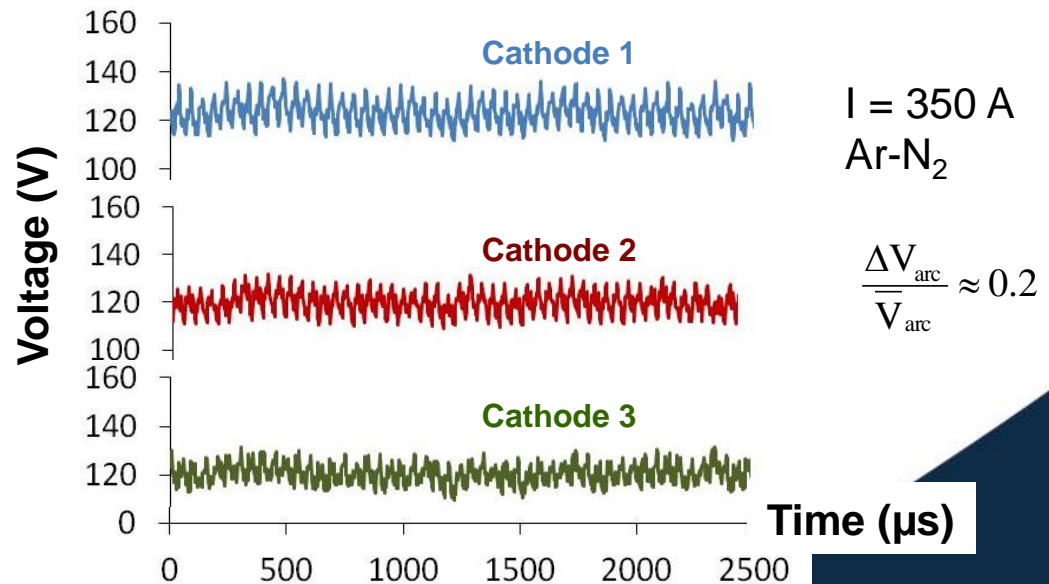
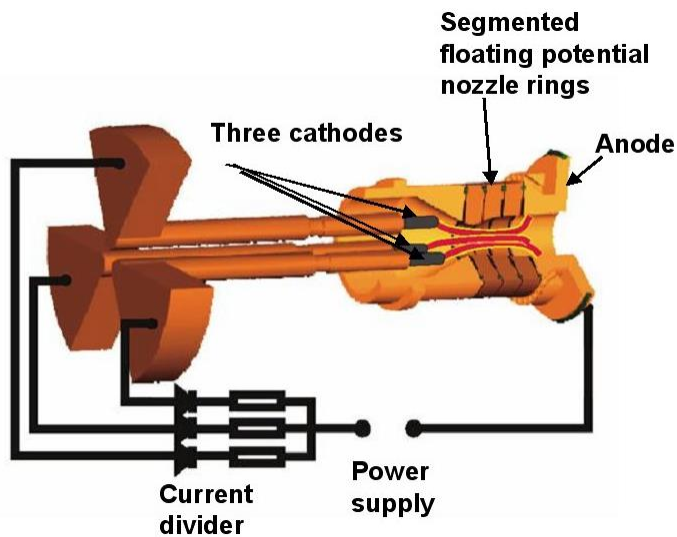
➤ Torche conventionnelle - $P_{elec} \sim 35$ kW



$$\frac{\Delta V_{arc}}{\bar{V}_{arc}} \approx 0.9$$

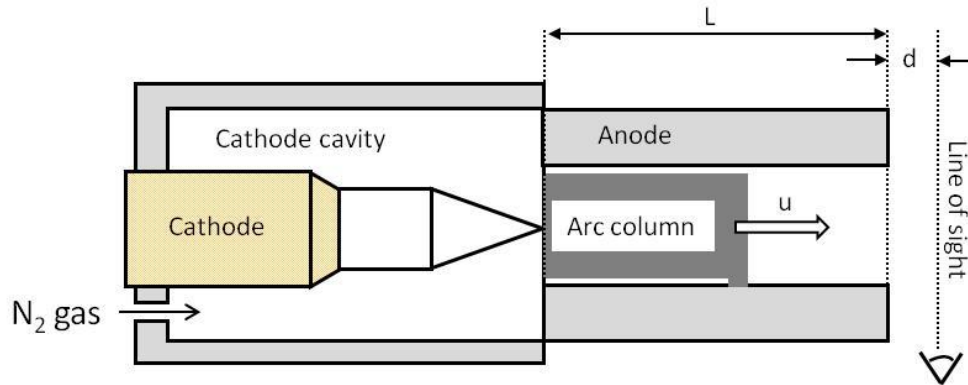


➤ Réduire les instabilités: torches multi-électrodes - $P_{elec} \sim 40-100$ kW

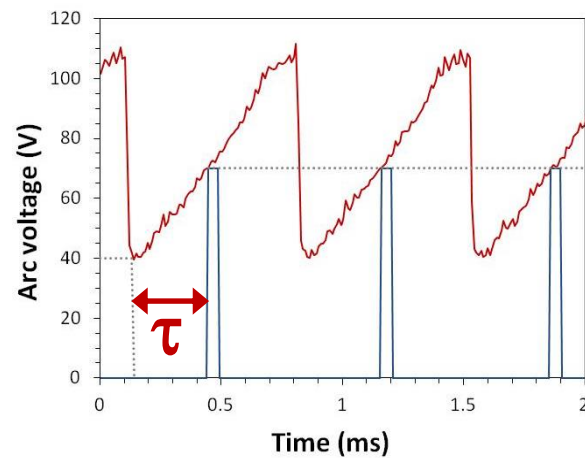
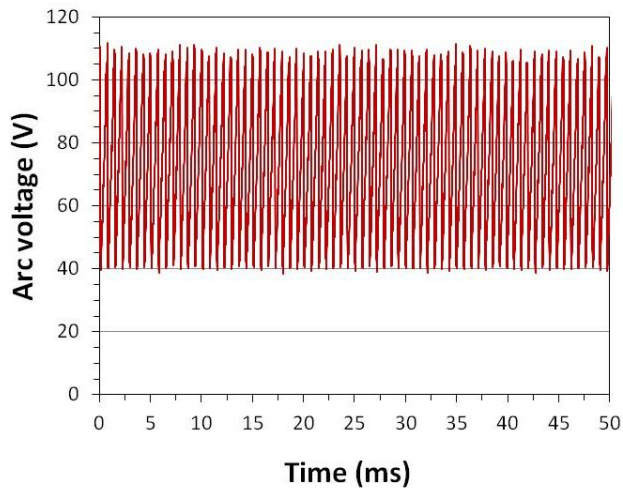


Torche pulsée

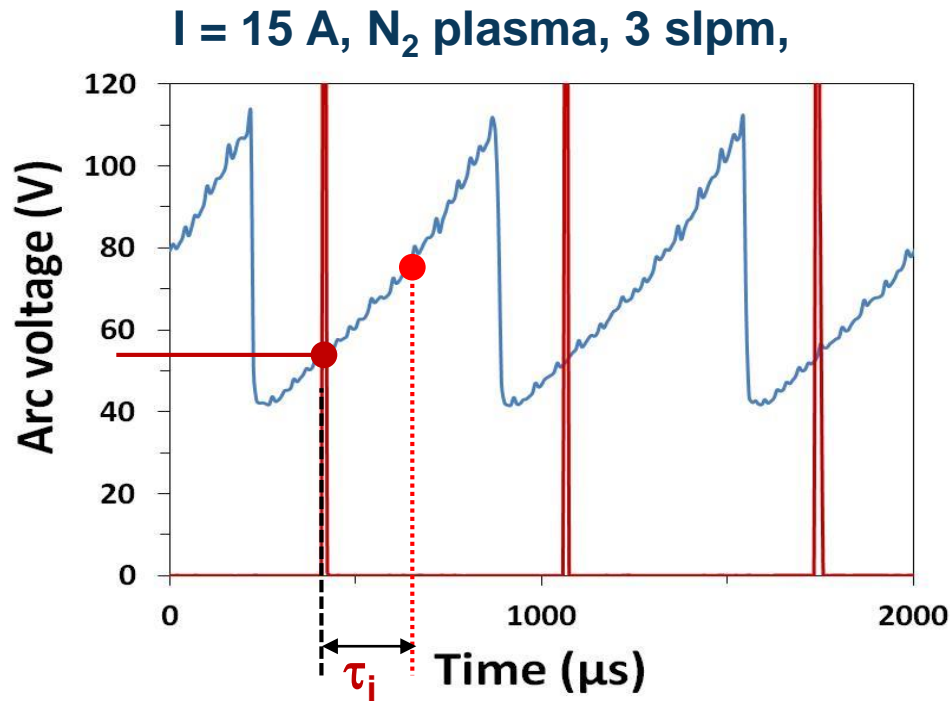
- DC, $I = 15 \text{ A}$ – faible puissance- N_2 – Pression atmosphérique



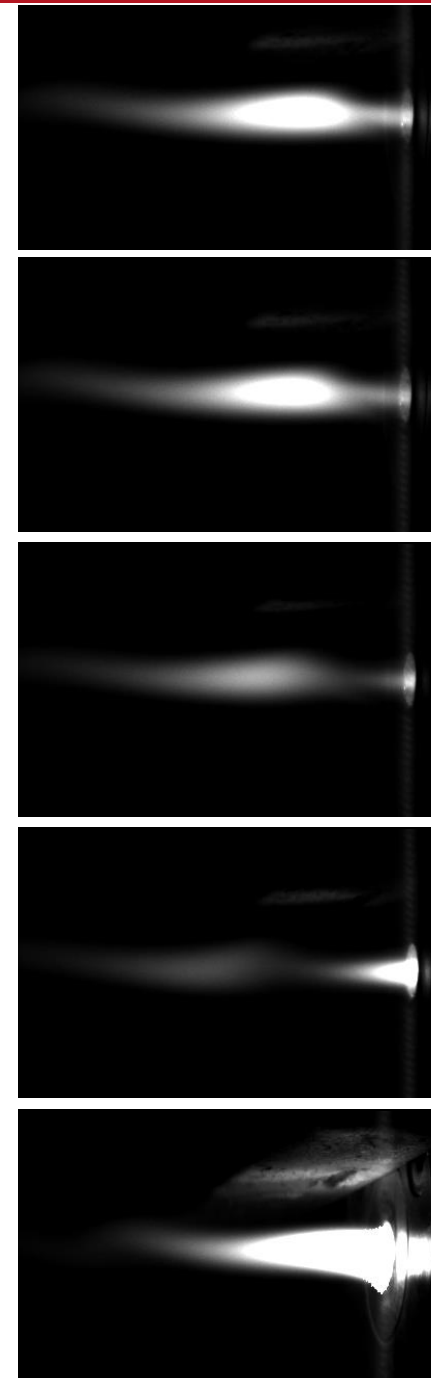
$f_0 \sim 1.4 \text{ kHz}$



- Délai de déclenchement τ_d



$$h_{\text{moy}} = 13.3 \text{ MJ.kg}^{-1}$$

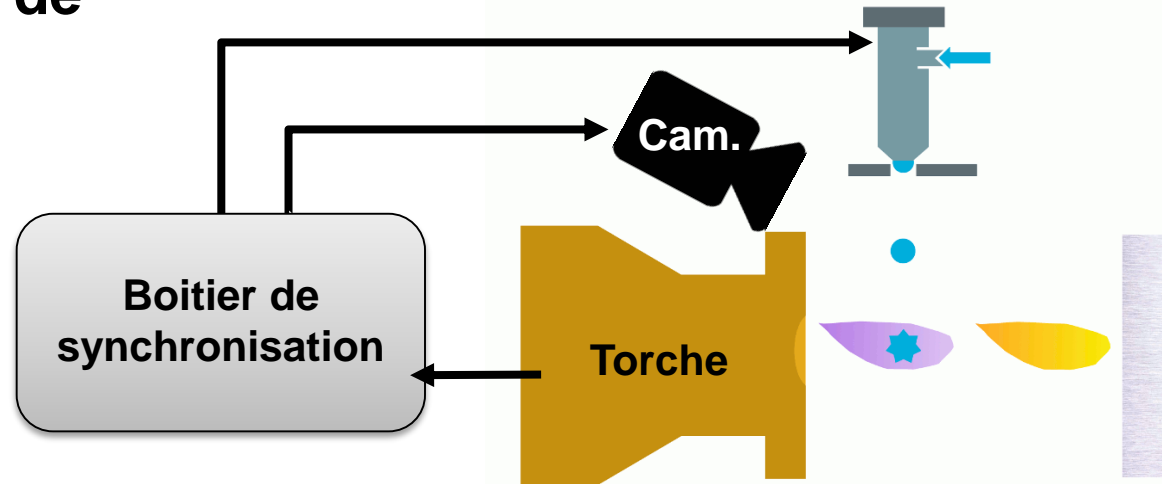


Exposition = 60 μs

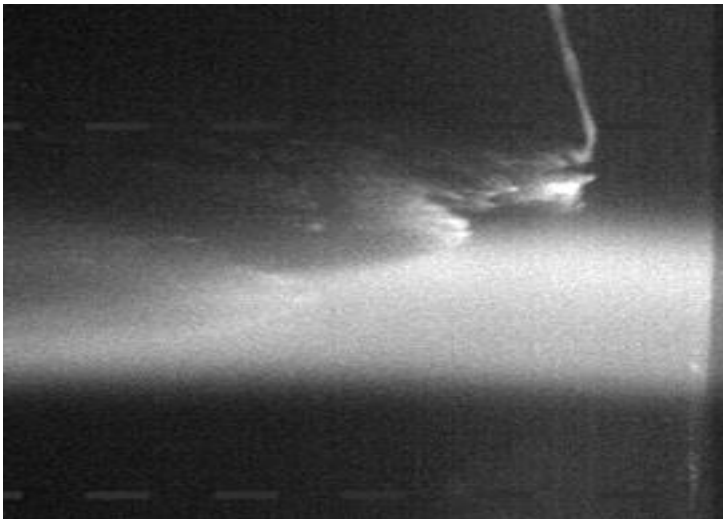
1 Période
: 700 μs

f ~ 1.4 kHz

Synchronisation de l'éjection



Injection mécanique non contrôlée avec torche F4



Injection synchronisée avec torche pulsée



Projet AAE : Les livrables

➤ Sans injection de précurseurs:

- ◆ Identification des espèces et des systèmes par OES pour différents z et $\tau - T_{\text{rot}} (\text{N}_2^+)$
- ◆ Lien avec enthalpie massique en mode pulsé mode libre et forcé $I=f(t)$

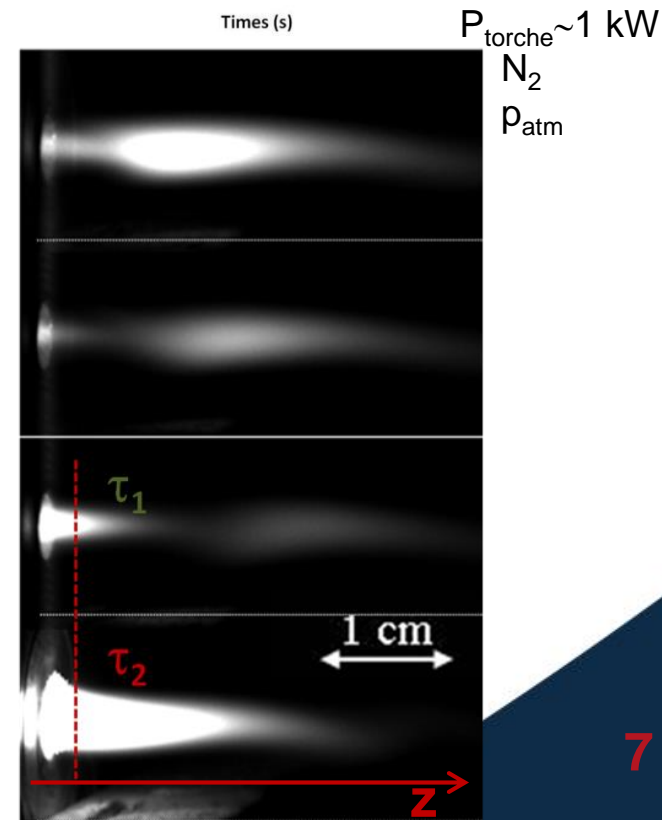
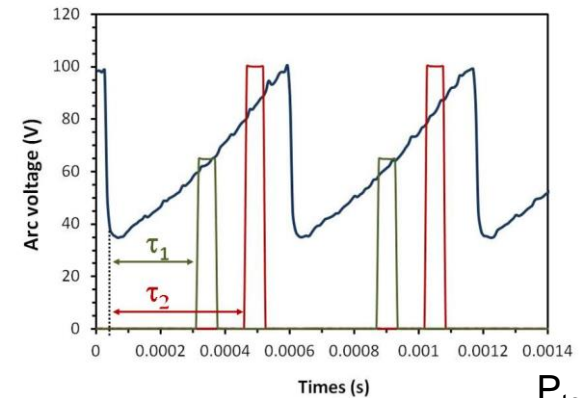
$$I(t) = I_0 (1 + \alpha \sin(2\pi f_0 t))$$

➤ Avec injection de précurseurs:

- ◆ Mise en place d'une monobuse
- ◆ Identification des espèces par OES (z et τ)
- ◆ Comparaison avec le cas sans injection

➤ Collecte/dépôt

- ◆ Microstructure/structure des matériaux déposés (MEB, RX)

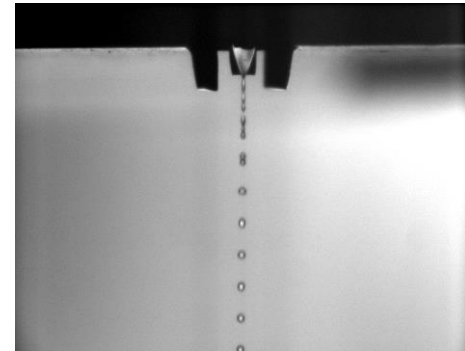


Torche

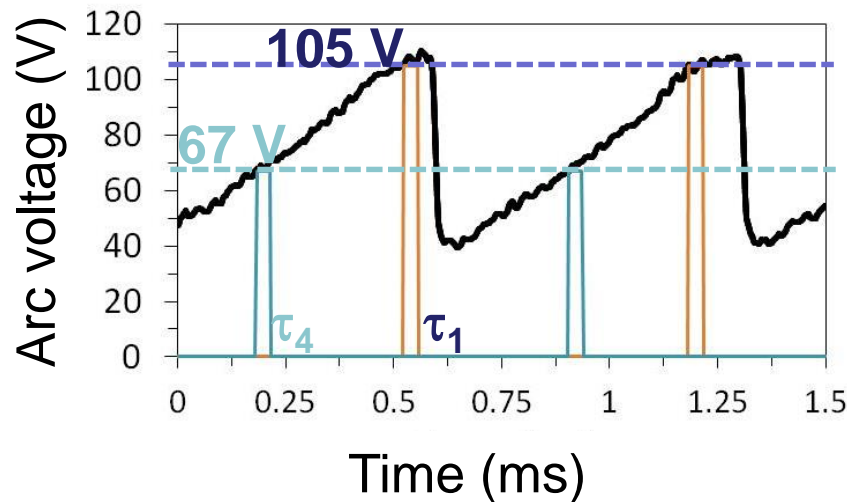
- 1) Compréhension du fonctionnement de la torche
Lien entre tension et propriétés (enthalpie, vitesse)
mesures / modèle simplifié en mode libre
- 2) Etude de l'influence de la modulation du courant sur la stabilité de la torche

Monobuse

- 3) Installation de la monobuse
- 4) Optimisation des propriétés des encres



Modulation de l'enthalpie



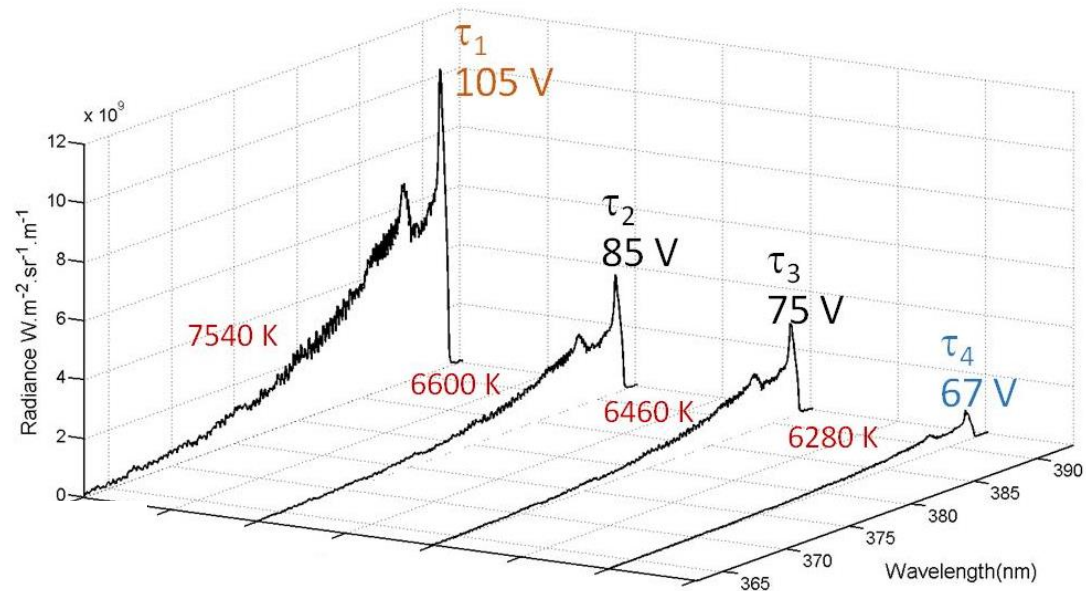
$I = 15 \text{ A}$ - constant

$d = 1 \text{ mm}$

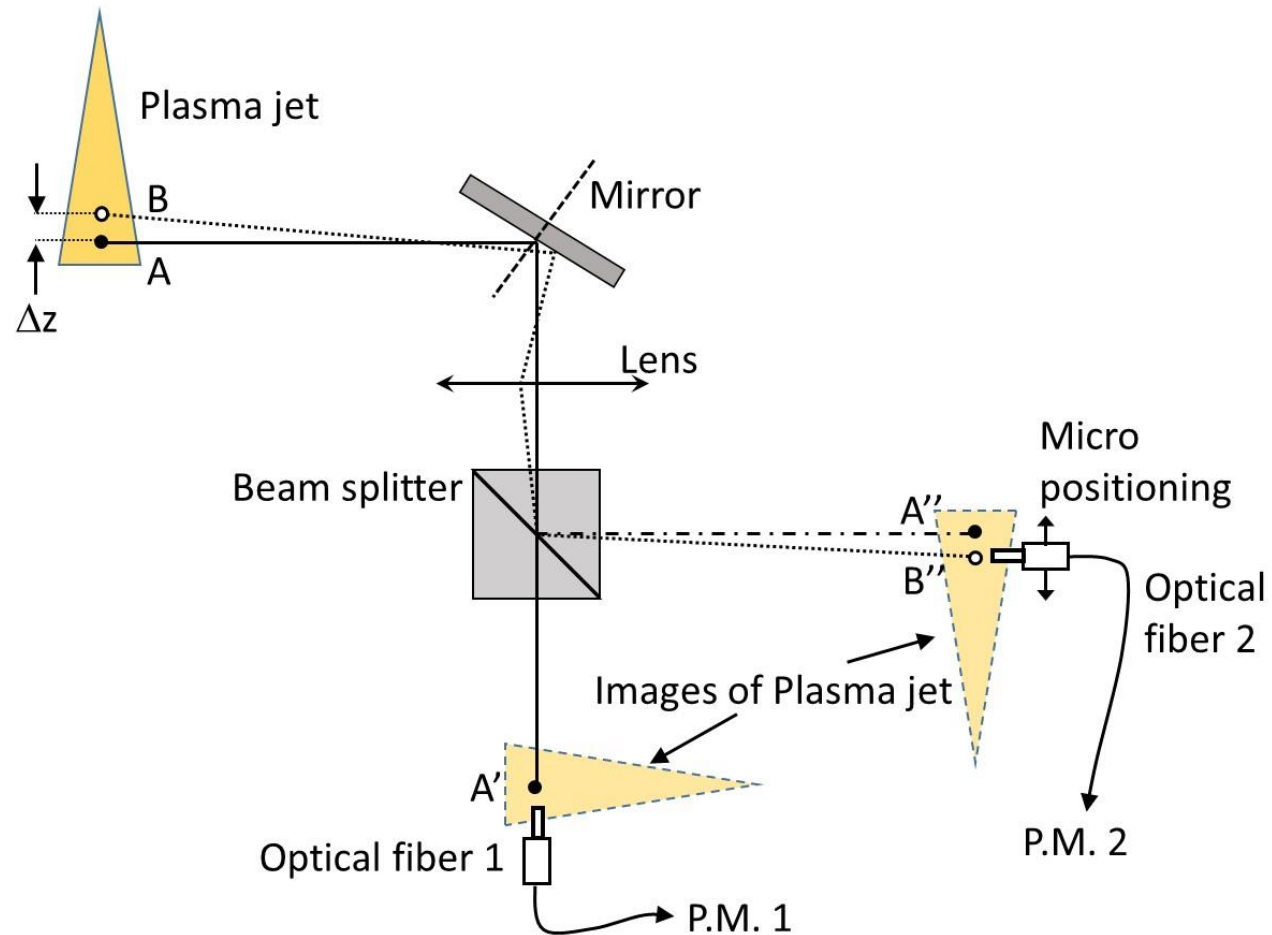
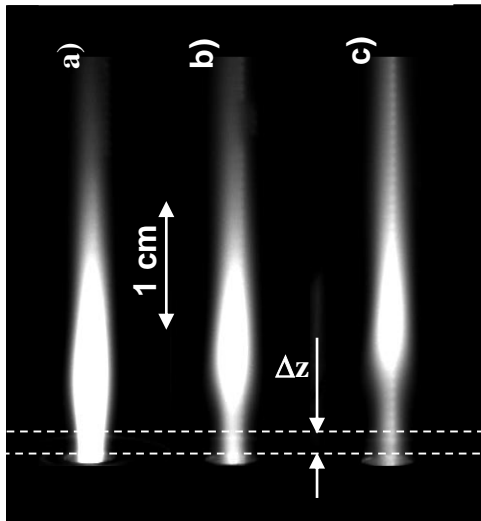
Premier système négatif de N_2^+

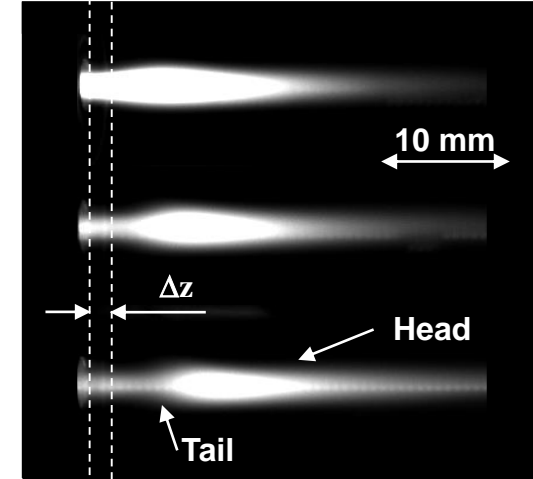
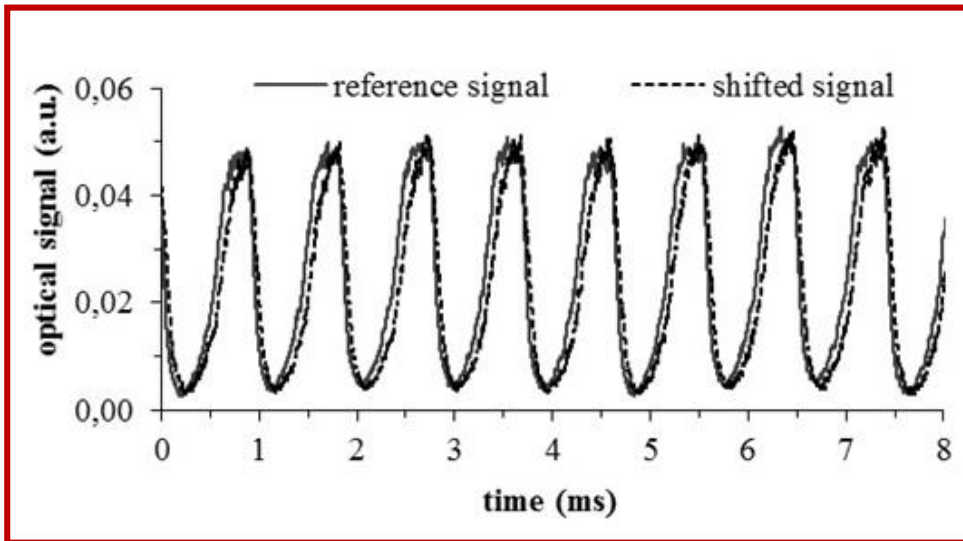
$$\bar{T} = \frac{\int \varepsilon_{N_2^+}^{(0,0)}(x, y) T(x, y) dx dy}{\int \varepsilon_{N_2^+}^{(0,0)}(x, y) dx dy}$$

$$h_{\text{moyen}} = 9 - 25 \text{ MJ} \cdot \text{kg}^{-1}$$



Mesure de la vitesse du plasma

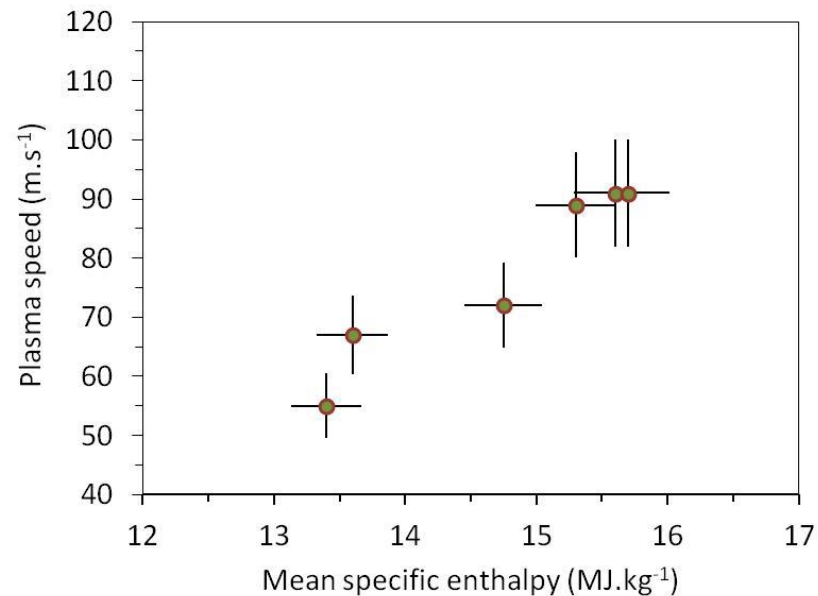




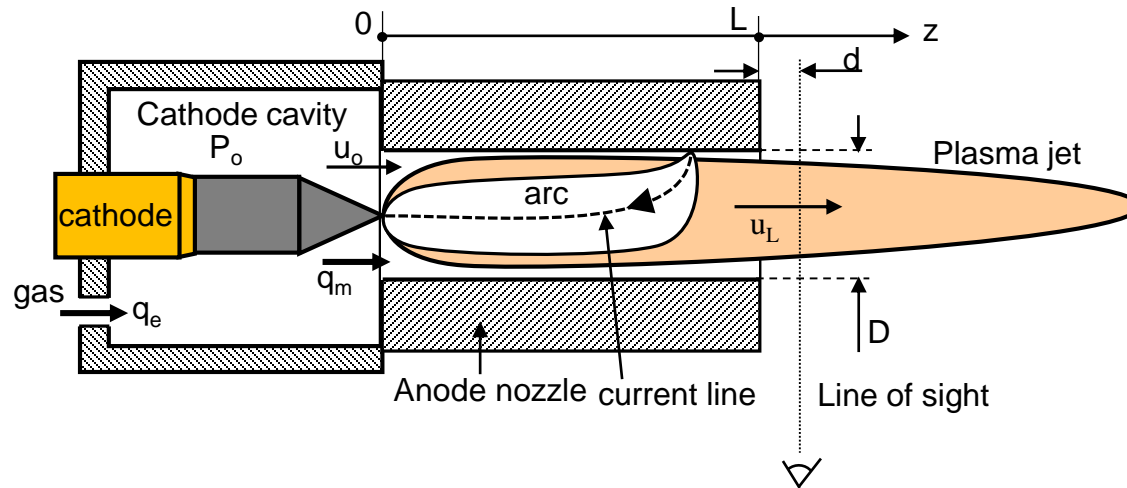
➤ Fonction d'intercorrélation

➤ Décalage temporel

➤ Vitesse moyenne $u = \frac{\Delta z}{\tau_0}$



Parameter coupling in a dc plasma torch



- *Input parameters*: torch geometry, plasma forming gases, arc current
Arc voltage
- *Output parameters*: plasma specific enthalpy and speed
mass flow rate, gas pressure inside the cathode cavity
- Properties averaged over the channel cross at nozzle exit
- 0D, transient, linear, analytical model

Integrating 1-D time dependent conservation equations over the axial distance z
 L : nozzle length

Energy equation $m_p \frac{dh_L}{dt} + q_m (h_L - h_0) = -\alpha_{cr} L h_L$ $q_m h_0 = (V_{arc} - V_{elec}) I$

Momentum equation $L \frac{dq_m}{dt} + (u_L - u_0) q_m = -S(P_L - P_0) - \frac{L q_m}{\tau_f}$

Mass balance in the cathode cavity $q_e - q_m = V_{cav} \left(\frac{\partial \rho}{\partial P} \right)_{cav} \frac{dP_0}{dt}$

Fundamental frequency $\omega_0^2 = \left(\frac{\partial \rho}{\partial P} \right) \frac{S}{L V_{cav}}$

Linearizing conservation equations $\mathbf{x} = \bar{\mathbf{x}} + \mathbf{x}'$ $\mathbf{x} = \{ q_m \ u_L \ P_0 \ \rho_L \ h_L \ V_{arc} \}$

Non-dimensional fluctuating components $h = -\rho$ $u = q - \rho = q + h$

Conservation equations

$$\dot{h} + \frac{h}{\tau} = \frac{v}{\tau} - \frac{q}{\tau_{res}} \quad \ddot{q} + \frac{\dot{q}}{\tau_{cav}} + \omega_0^2 q = -\frac{\dot{h}}{\tau_{res}}$$

Characteristic times:

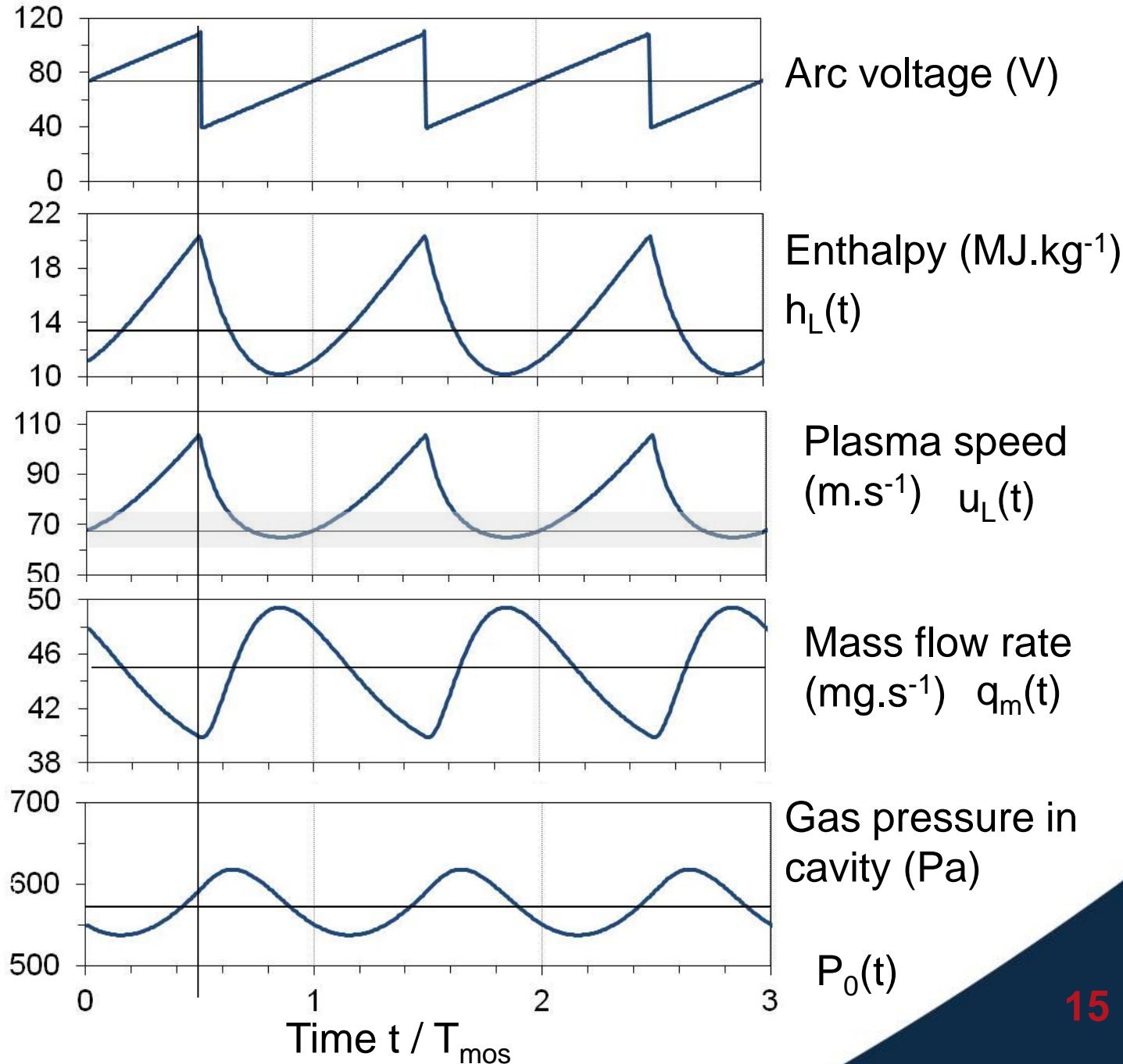
$$\frac{1}{\tau} = \frac{1}{\tau_{res}} + \frac{1}{\tau_{tr}} \quad \frac{1}{\tau_{cav}} = \frac{2}{\tau_{res}} + \frac{1}{\tau_f}$$

Residence time \nearrow Heat transfer time \nwarrow Viscosity effect \nwarrow

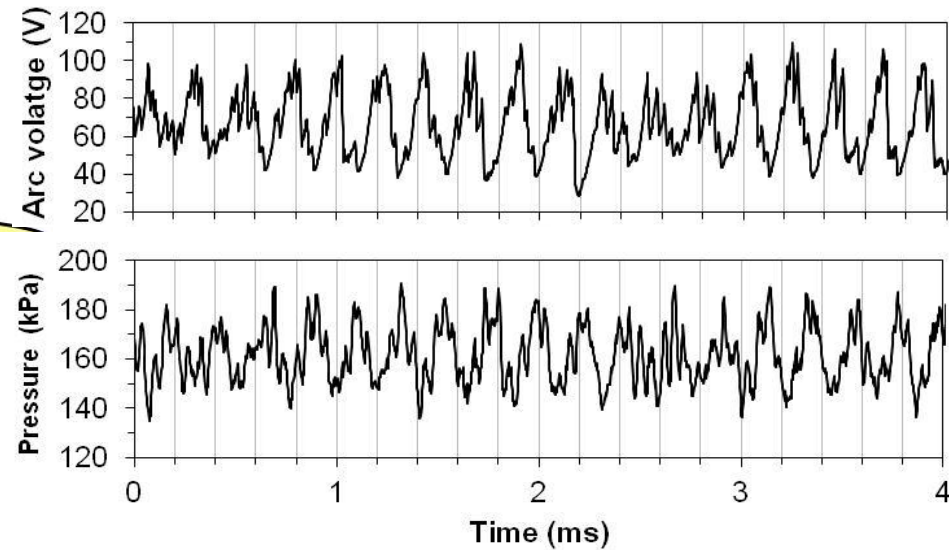
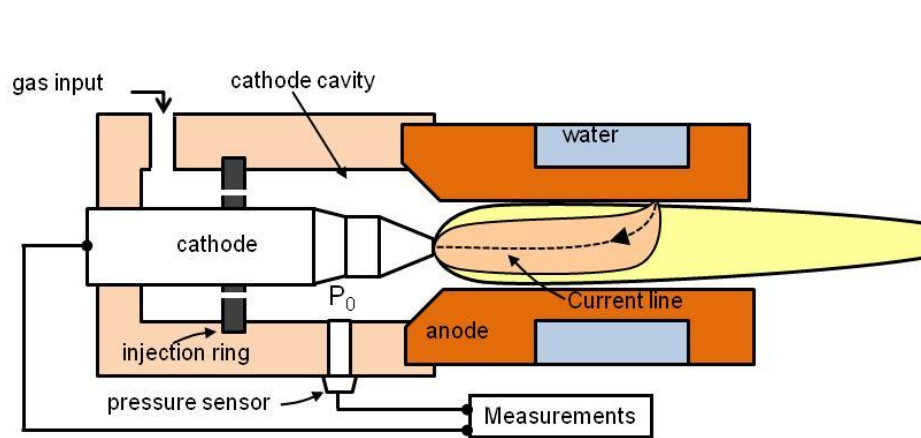
Fourier expansion

$$v(t) = \sum_{n=1}^{\infty} V_n \sin(\omega_n t)$$

Consistent with measurements

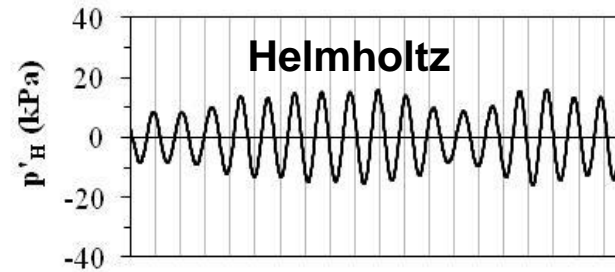
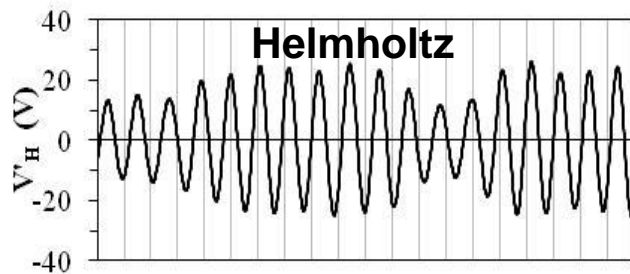


Coupling of arc voltage/pressure in dc arc torches

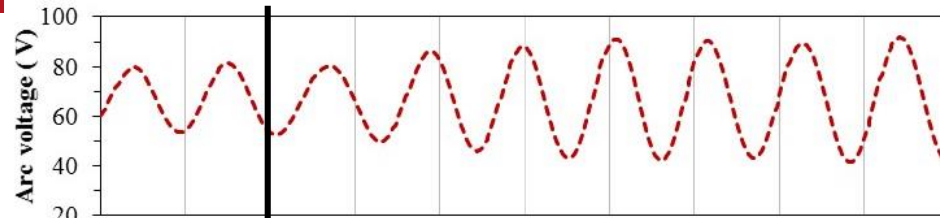


$$v(t) = \bar{v} + v_H(t) + v_R(t) + v_A(t)$$

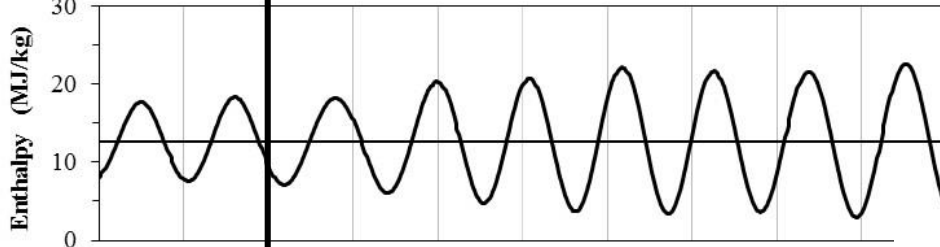
$$P_0(t) = \bar{P}_0 + p_H(t) + p_R(t) + p_A(t)$$



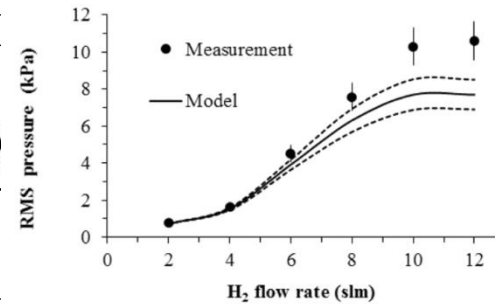
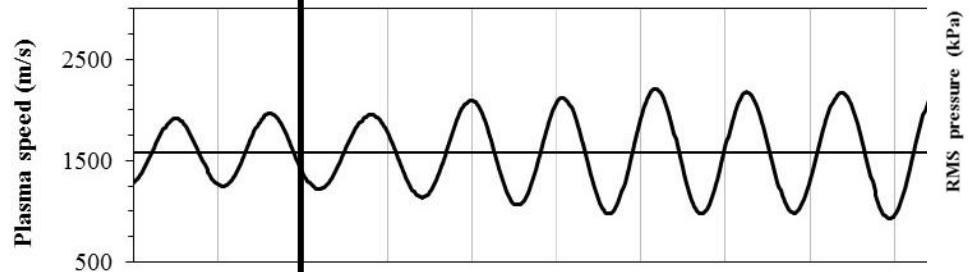
Helmholtz component
after filtering (V)



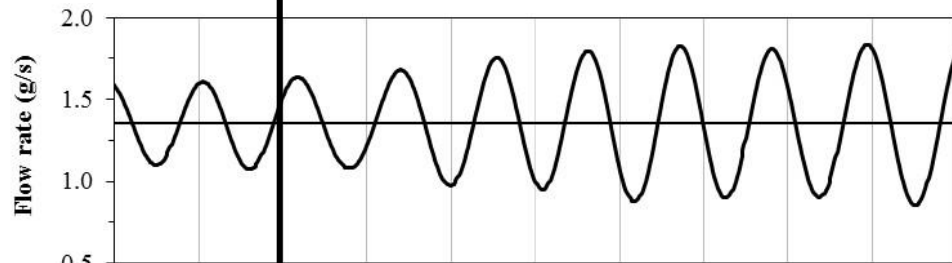
Enthalpy (MJ.kg⁻¹)



Plasma speed (m.s⁻¹)

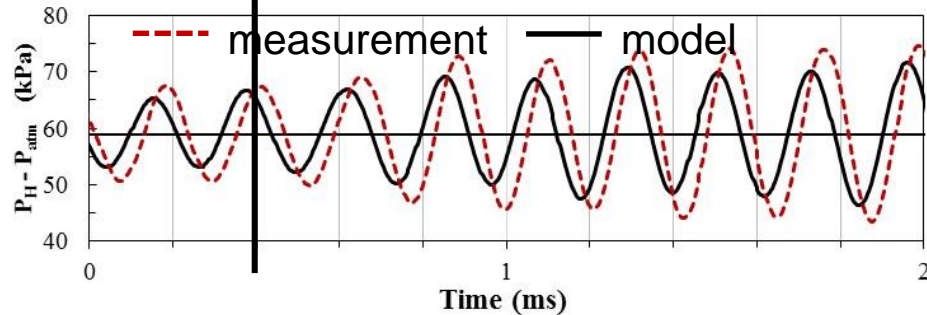


Mass flow rate (g.s⁻¹)



Pressure (kPa)

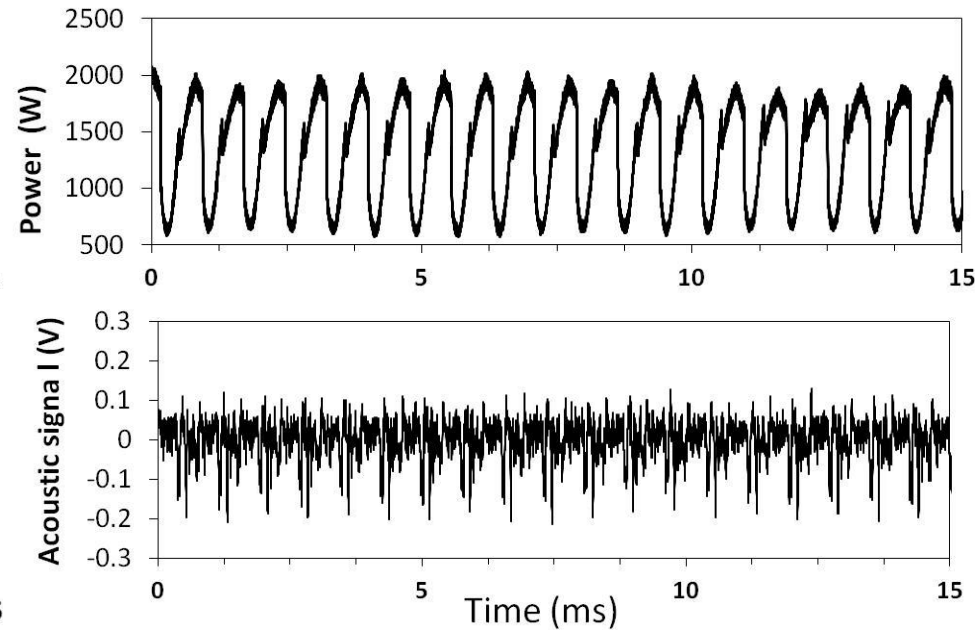
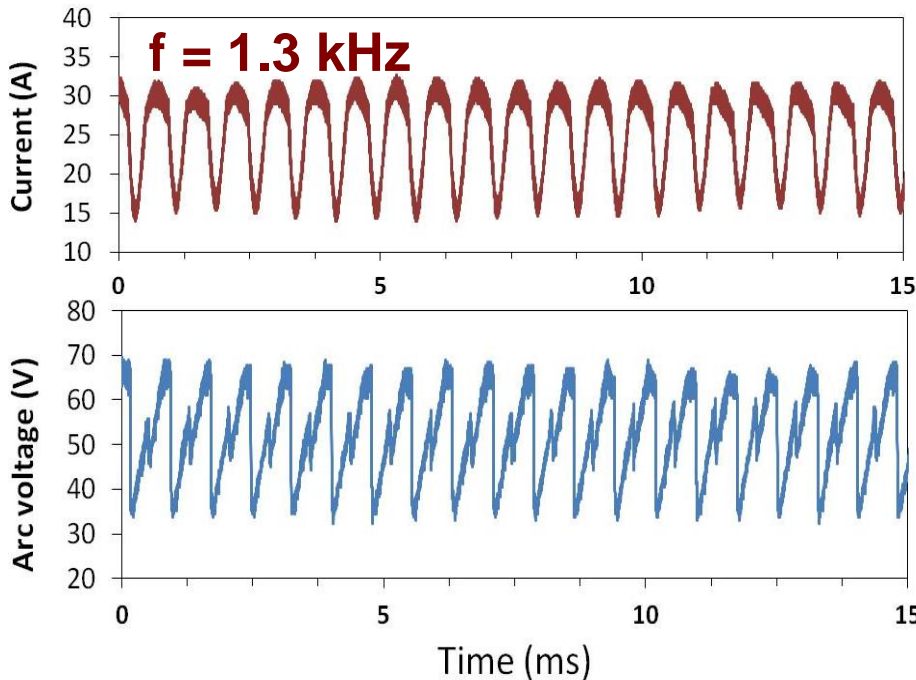
$$\Delta P_H = P_H - P_{atm}$$



What is the influence of the application of a time-dependent arc current ?

$$I(t) = I_0(1 + \alpha \sin(2\pi f_0 t))$$

- ♦ Is a resonance effect favored by arc current oscillations ?

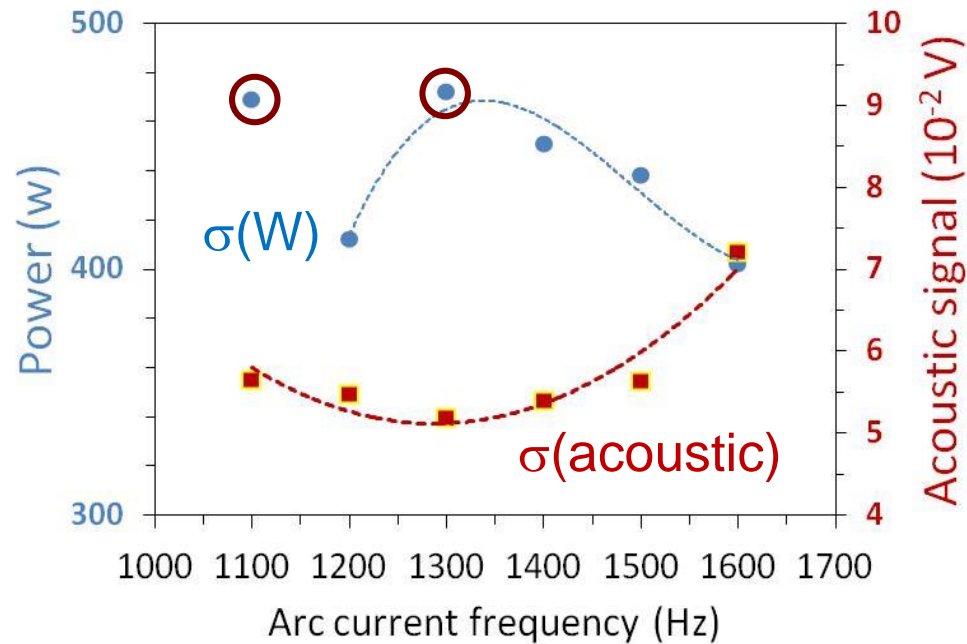


Acoustic emission: Fitaire law

$$a(t) \propto \frac{dP}{dt}$$

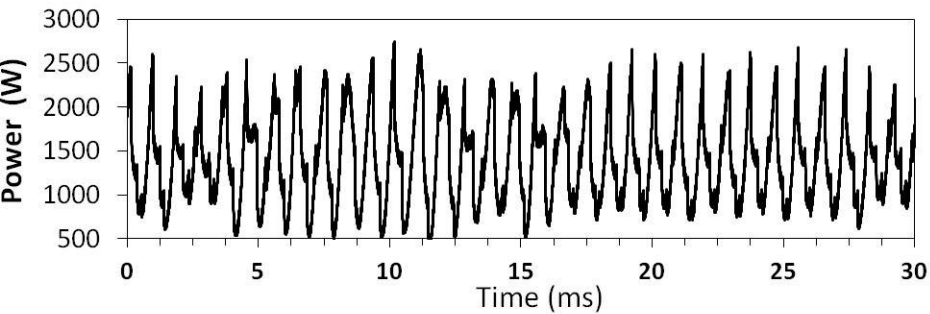
Influence of the arc current frequency applied

$$\bar{I} = 25\text{A} \quad \sigma(I) \sim \text{constant}$$

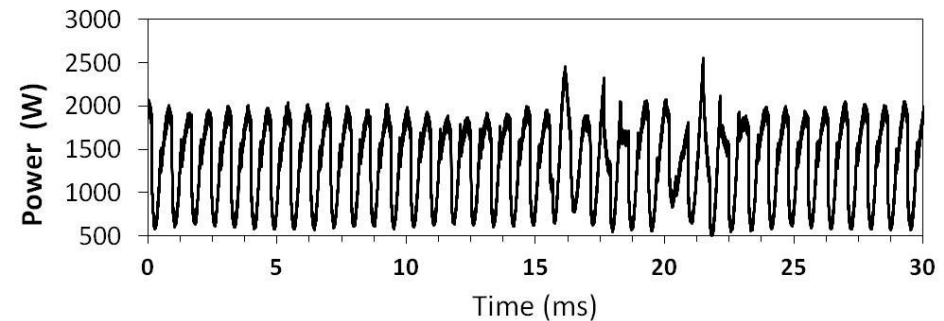


1100 Hz

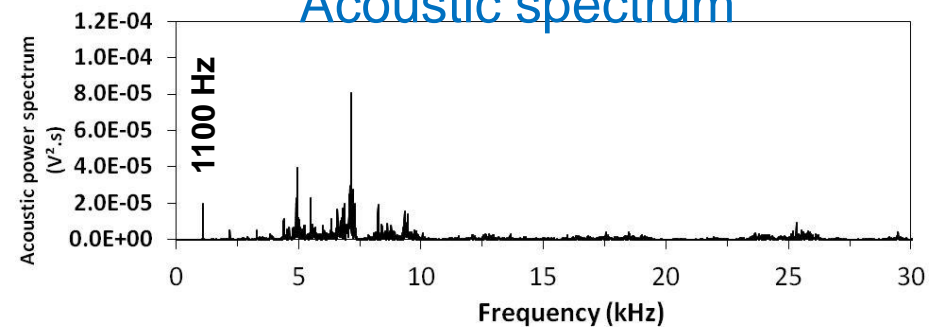
Power

**1300 Hz**

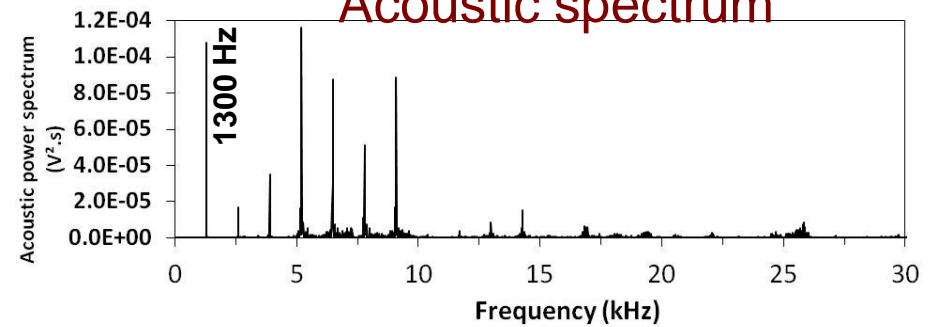
Power



Acoustic spectrum



Acoustic spectrum



$$\sigma_a^2 = \int_0^{f_{\max}} \Phi_a(f) df$$

➤ the arc current frequency affects the arc oscillation :
stabilizing mechanism of resonant mode

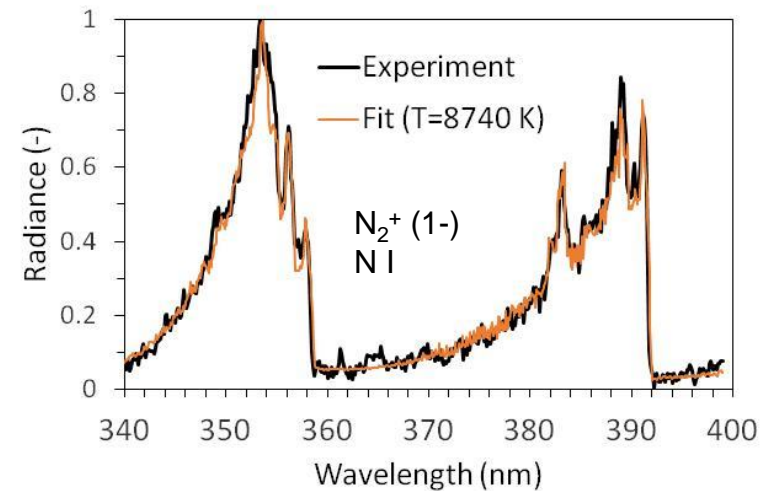
Enthalpy modulation : temperature measurements

Arc current frequency 1300 Hz

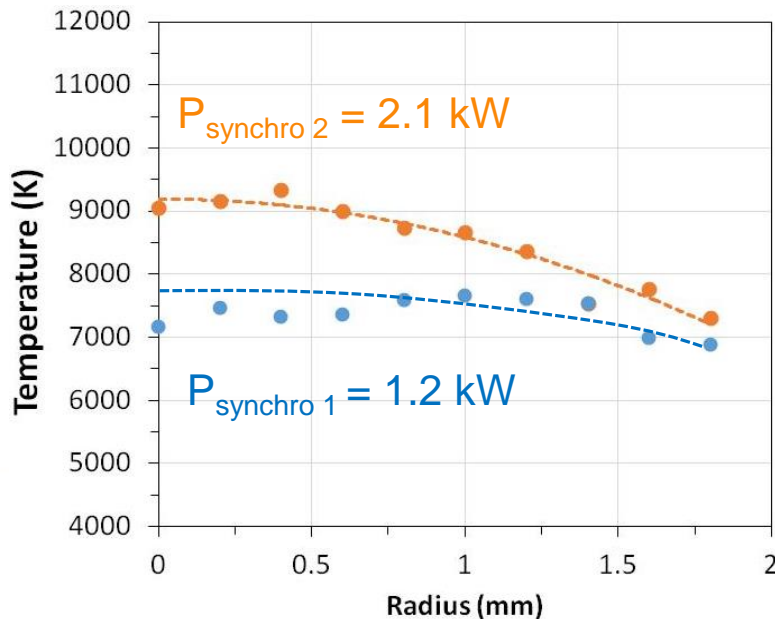
2 trigger times : $P_{\text{synchro } 1} = 1.2 \text{ kW}$ and $P_{\text{synchro } 2} = 2.1 \text{ kW}$

Exposure time 30 μs + accumulation $N_{\text{acc}} \sim 50\text{-}200$

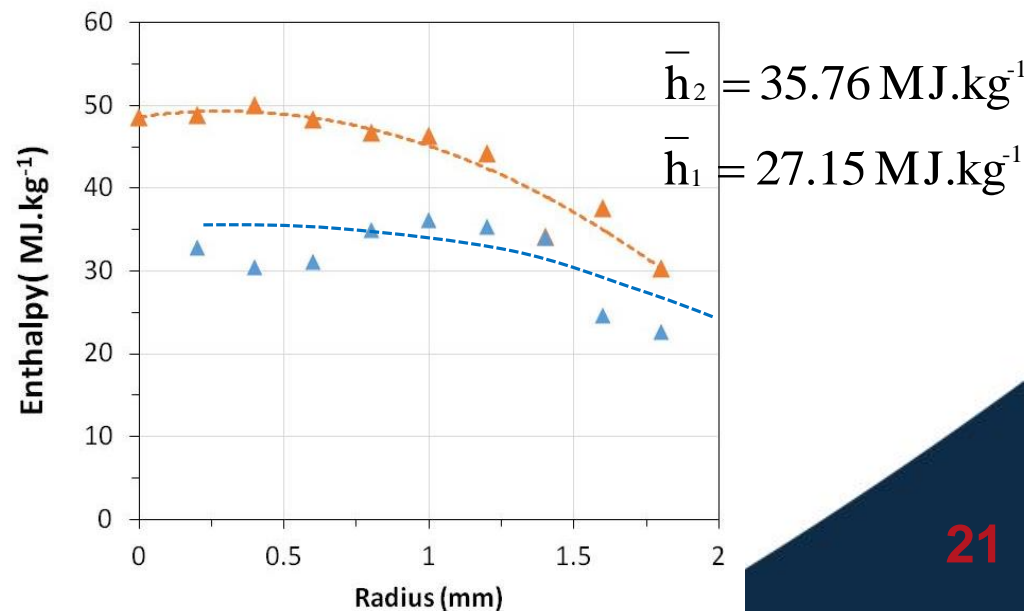
Abel inversion



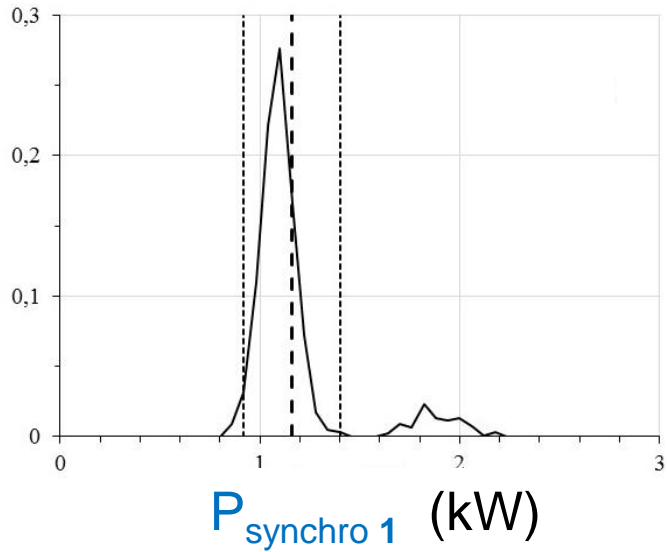
Temperature profile



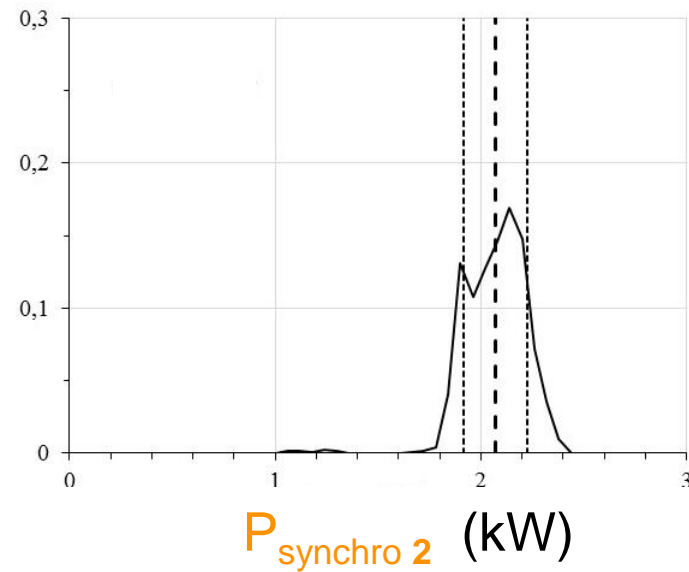
Enthalpy profile



$$\bar{P}_{\text{synchro}1} = 1.19 \text{ kW} \quad \sigma(\bar{P}_{\text{synchro}1}) = 0.24 \text{ kW}$$

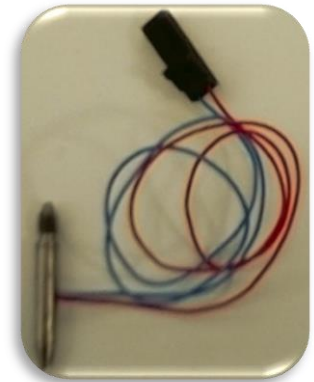
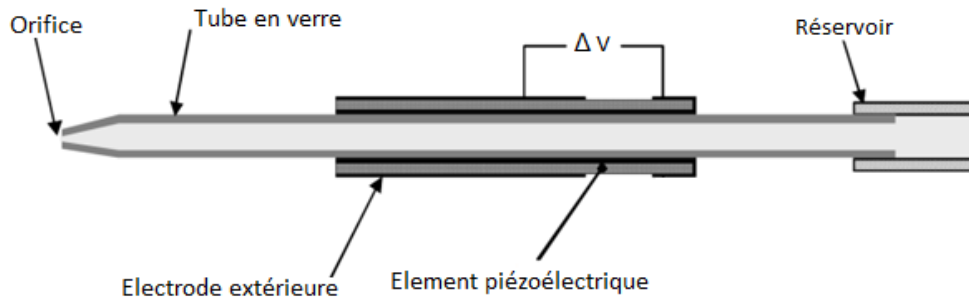


$$\bar{P}_{\text{synchro}2} = 2.10 \text{ kW} \quad \sigma(\bar{P}_{\text{synchro}2}) = 0.15 \text{ kW}$$



Dispositif d'injection jet d'encre drop-on-demand

Monobuse

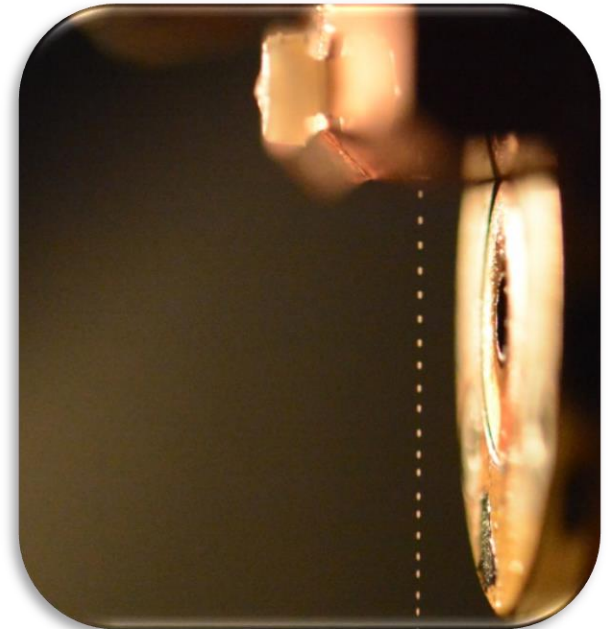


➤ Recommandations du fabricant

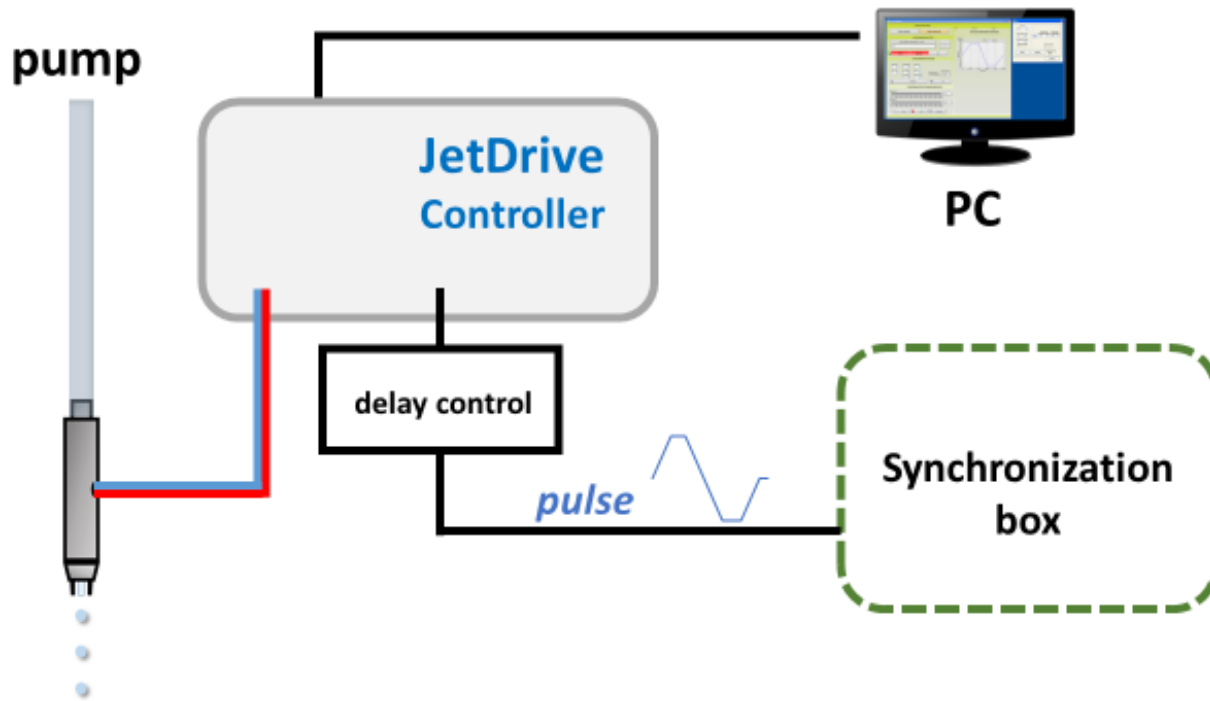
Diamètre de l'orifice	80 μm +/- 1 μm
Température maximale du fluide	50 °C
Tension de surface du fluide	30 - 50 mN/m
Viscosité du fluide	4 - 8 mPa.s
pH du fluide	2 - 11

➤ Rapport d'éjection

$$Z = \frac{Re}{\sqrt{We}} = \frac{\sqrt{\rho \gamma r}}{\eta}$$

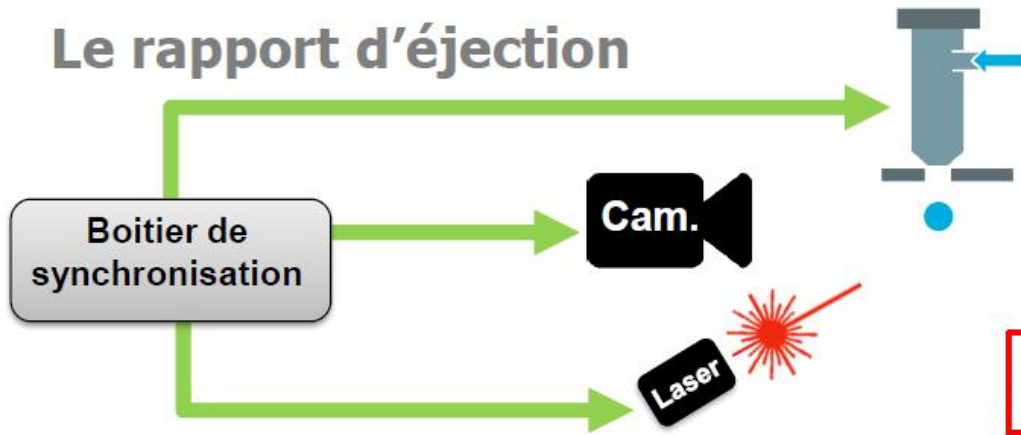


monobuse piézo-électrique



- Temps de réponse du piézoélectrique
(mesure vitesse du son)

Le rapport d'éjection

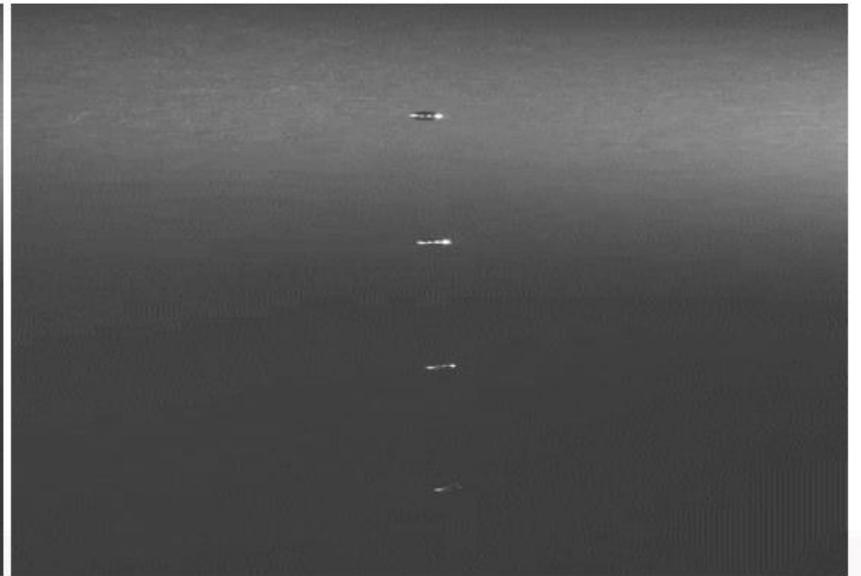


- Viscosité η
- Tension de surface γ
- Masse volumique ρ
- Rayon de l'orifice r

Éjection stable \longrightarrow $1 < Z < 10$



Z = 14



Z = 8

Formulations

Milieu aqueux

Tension de surface trop grande \longrightarrow ajout de tensio-actif (BRIJ 58)

Viscosité trop faible \longrightarrow ajout de glycérol ($C_3H_8O_3$)

➤ Solution étalons

Avec différentes quantités de glycérol (23 à 55 % volumique)

➤ Suspension d'anatase (TiO_2)

Commerciale 20 % massique

Taille des particules 20 nm

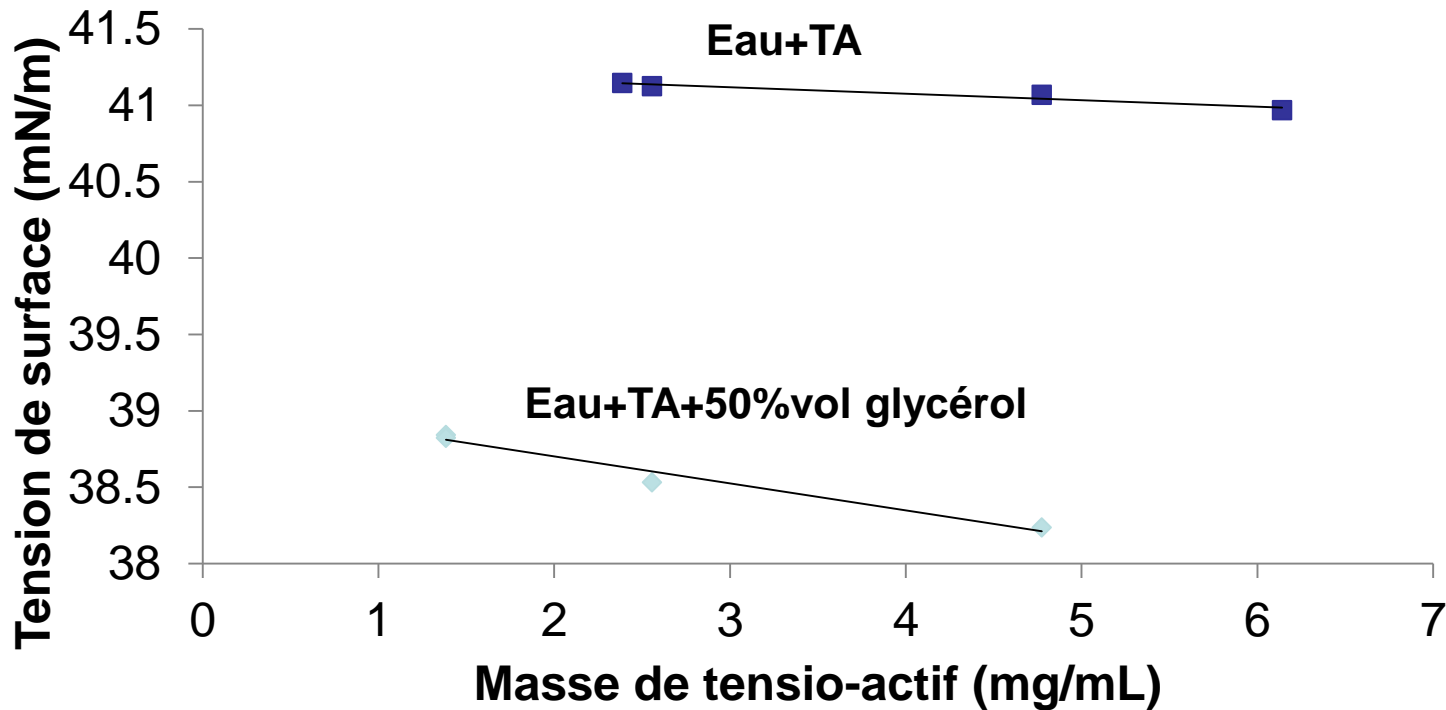
➤ Solution de nitrate d'aluminium ($Al(NO_3)_3$)

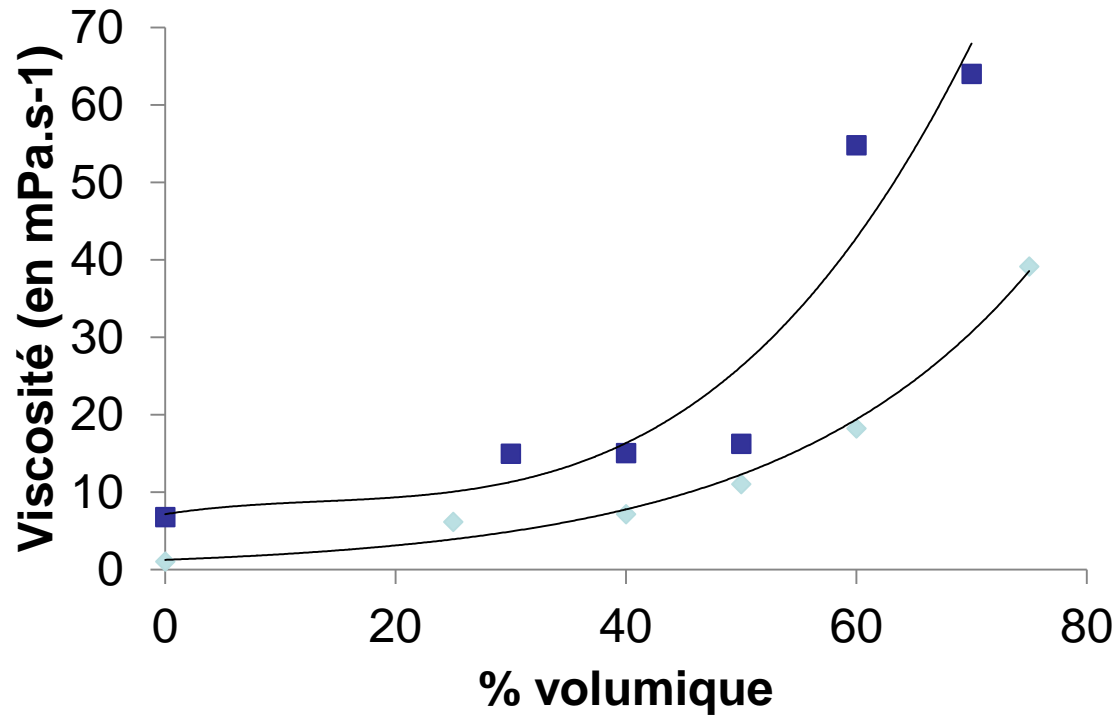
[Eau + TA (<0.1%mass)] + nitrate d'aluminium (39 %mass) + glycérol (31% mass) + NaOH (PH, <1%mass)

Elaboration solution de nitrate d'aluminium

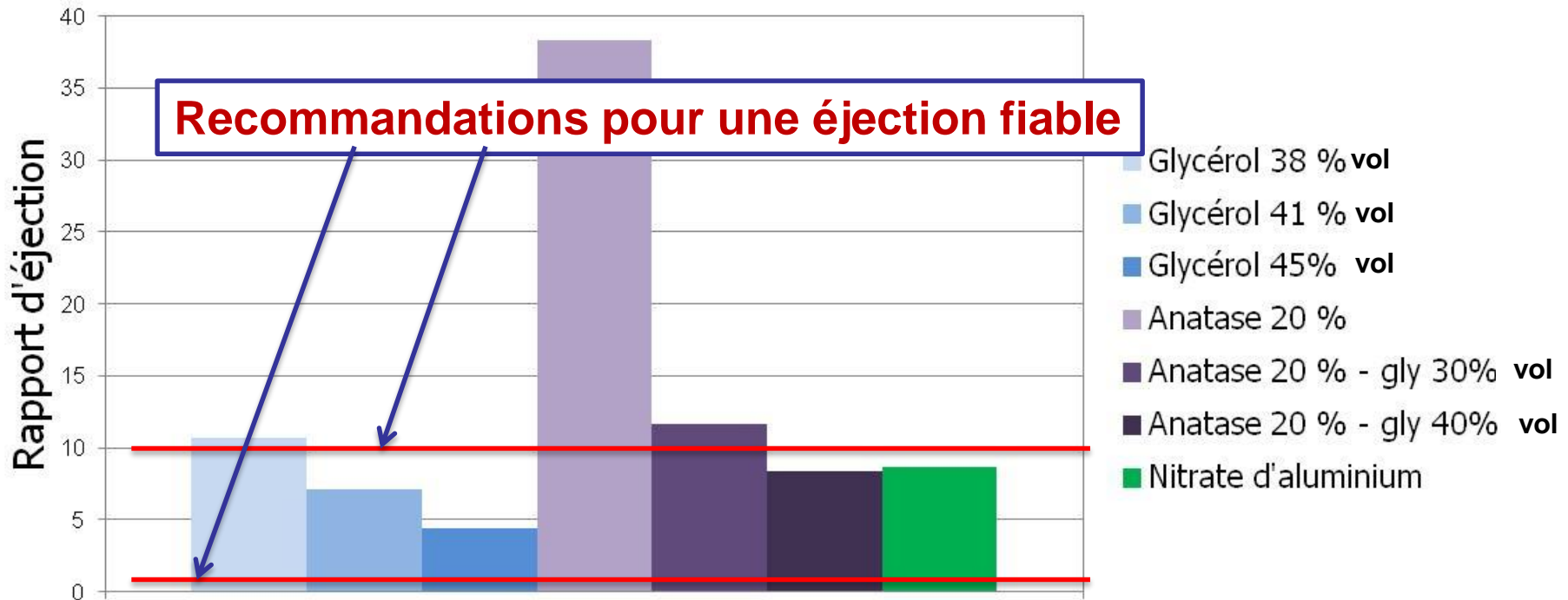
Sans tensio-actif : mélanges eau + glycérol [63-70 mN.m⁻¹]

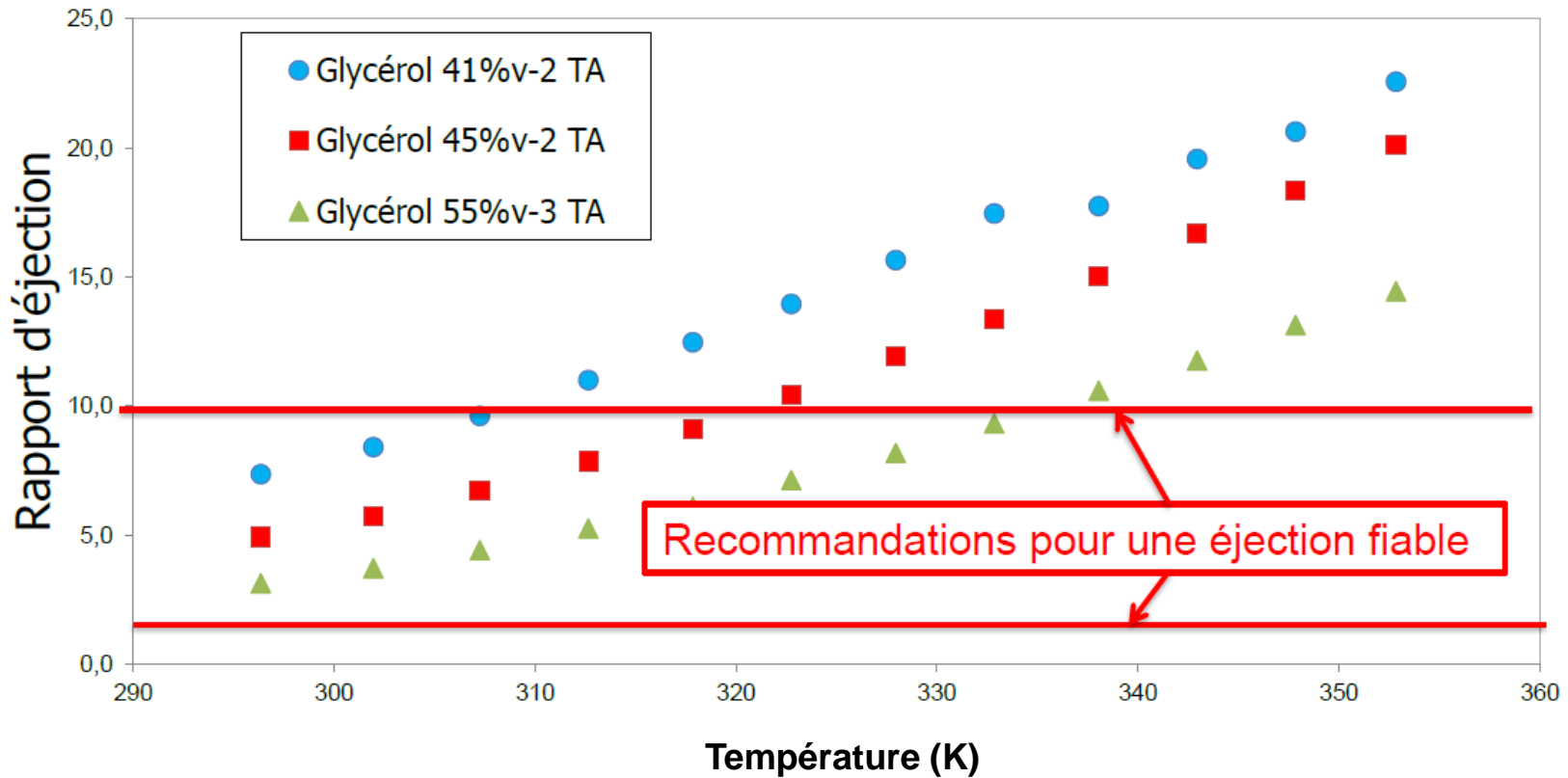
- Brij58 - tensio-actif - $\text{HO}(\text{CH}_2\text{CH}_2\text{O})_{20}\text{C}_{16}\text{H}_{33}$
- L'ajout de sel de nitrate d'aluminium modifie peu la tension de surface





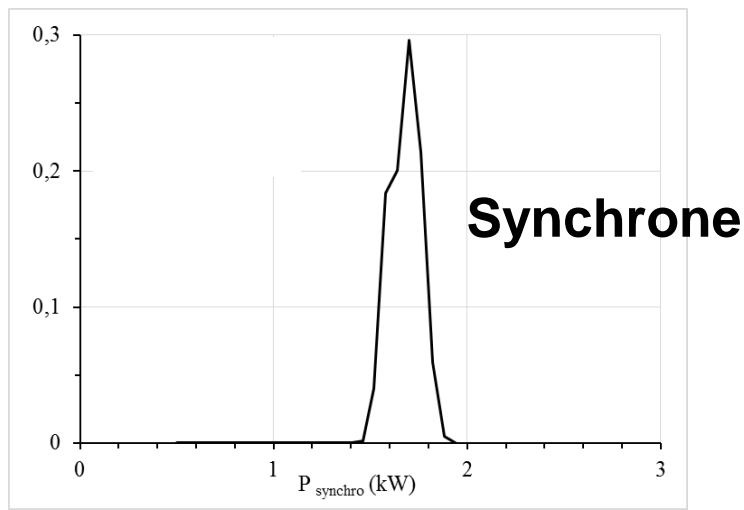
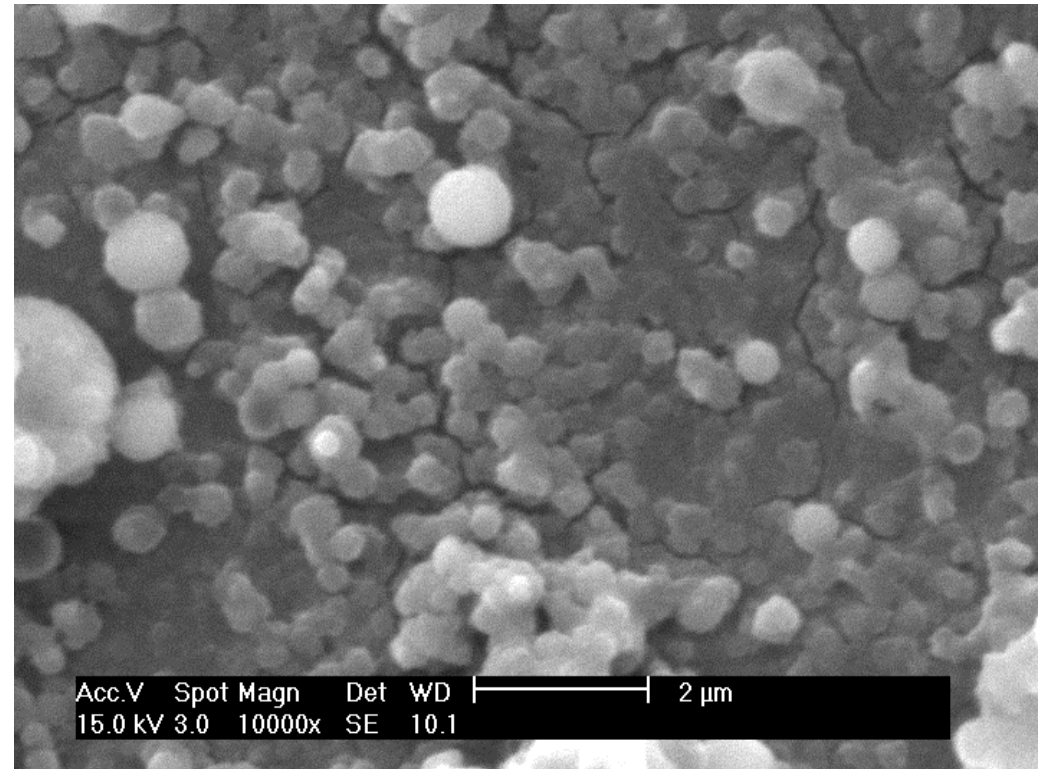
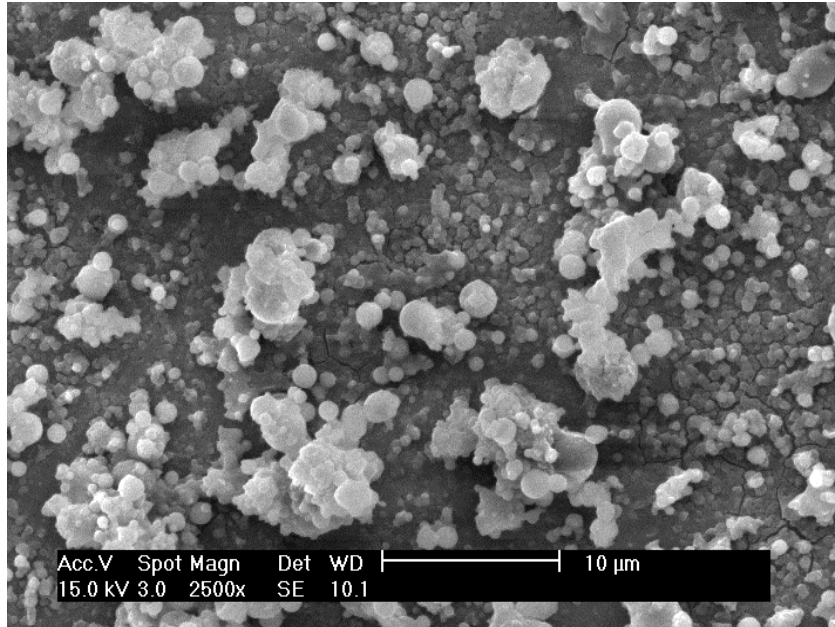
◆ eau+glycérol ■ nitrate d'alu + eau + glycérol



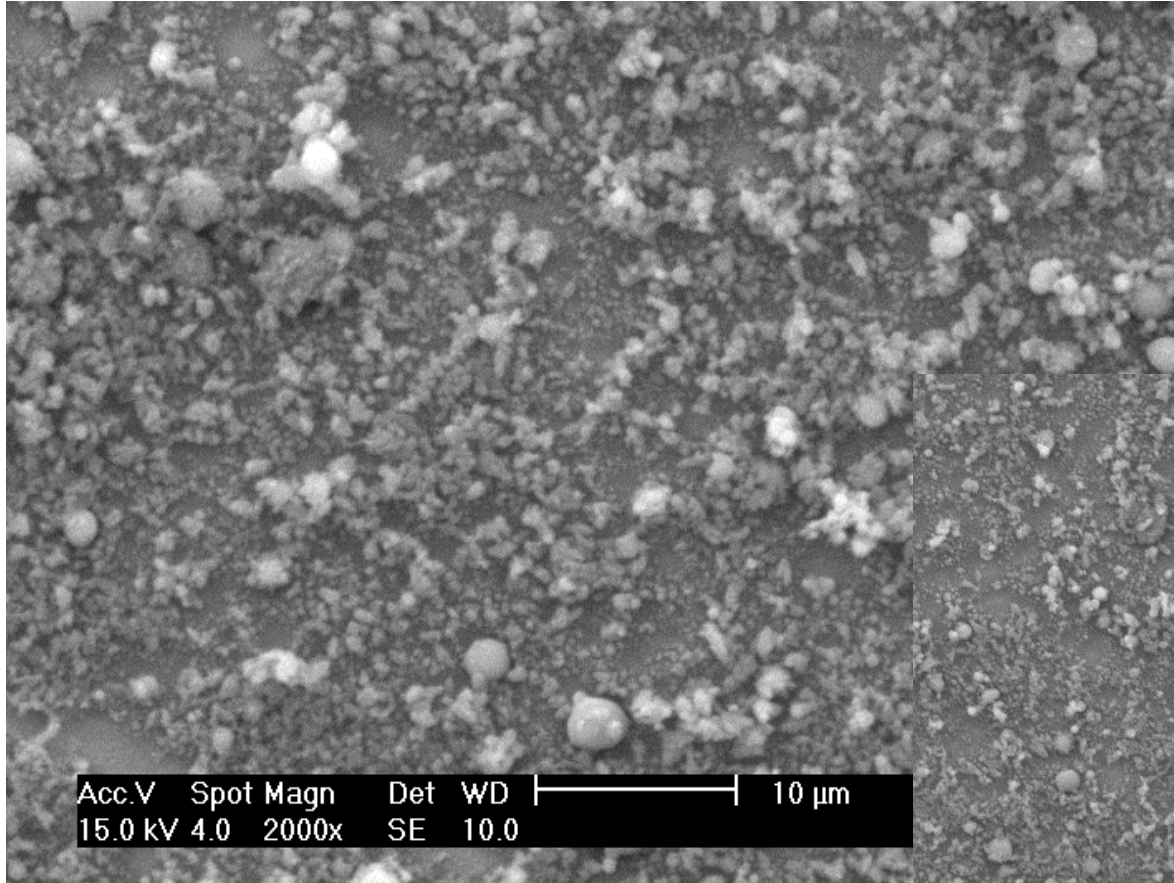




Projection de la solution de nitrate d'aluminium



Projection de la solution de nitrate d'aluminium



Non synchrone

